

1 Метеорологические условия

1.1 Синоптический обзор

Кинематическая карта, приведенная на рис. 1-1, отражает траектории циклонов (синий цвет) и антициклонов (красный цвет) в течение месяца. Положение центров приведено за срок 00 ВСВ каждых суток. За барическими объектами закреплен номер, по которому из ниже следующей таблицы можно определить координаты и давление в центре объектов в срок 00 ВСВ каждых суток.

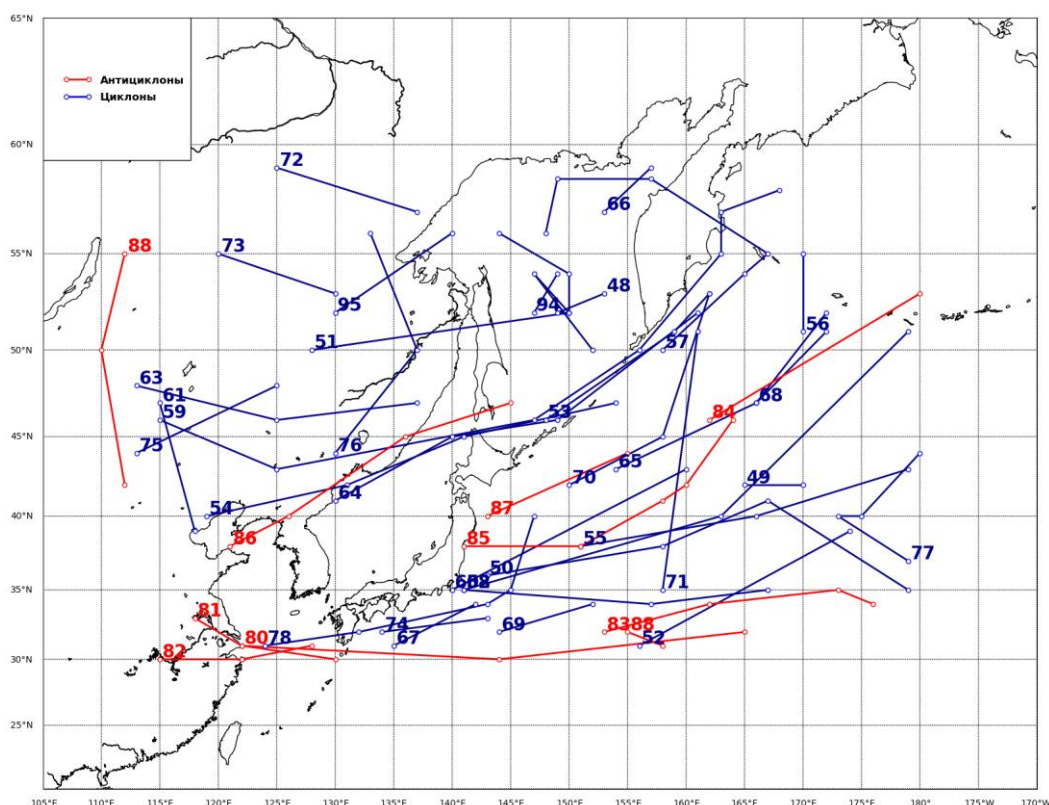


Рис. 1-1 Траектории движения циклонов и антициклонов в феврале
 (траектории циклонов синие, траектории антициклонов красные)

Координаты центров циклонов и антициклонов и давление в их центрах в феврале (в срок 00 ВСВ)									
Циклоны					Антициклоны				
Номер	Дата	Широта	Долгота	Давление	Номер	Дата	Широта	Долгота	Давление
48	31.01.2026	53	153	986	88	06.02.2026	55	112	1052
48	01.02.2026	52	149	980	88	07.02.2026	50	110	1048
48	02.02.2026	52	150	996	88	08.02.2026	42	112	1040
48	03.02.2026	54	150	1000	80	03.02.2026	31	122	1034
48	04.02.2026	56	144	1000	80	04.02.2026	30	130	1026
49	31.01.2026	42	165	988	81	08.02.2026	33	118	1040
49	01.02.2026	42	170	988	81	09.02.2026	31	122	1032
50	02.02.2026	36	143	1016	81	10.02.2026	30	144	1028
50	03.02.2026	38	158	1002	81	11.02.2026	32	165	1028
50	04.02.2026	41	167	978	82	11.02.2026	30	115	1030
50	05.02.2026	35	179	996	82	12.02.2026	30	122	1026

ЕЖЕМЕСЯЧНЫЙ ГИДРОМЕТЕОРОЛОГИЧЕСКИЙ БЮЛЛЕТЕНЬ ДВНИГМИ
 Авторы: Мезенцева Л. И., Каптюг В. А.



Координаты центров циклонов и антициклонов и давление в их центрах в феврале (в срок 00 ВСВ)									
Циклоны					Антициклоны				
Номер	Дата	Широта	Долгота	Давление	Номер	Дата	Широта	Долгота	Давление
51	03.02.2026	50	128	1012	82	13.02.2026	31	128	1022
51	04.02.2026	52	150	1002	83	15.02.2026	32	153	1024
51	05.02.2026	54	147	996	83	16.02.2026	34	162	1024
51	06.02.2026	50	152	1000	83	17.02.2026	35	173	1028
52	03.02.2026	31	156	1012	83	18.02.2026	34	176	1028
52	04.02.2026	39	174	982	84	18.02.2026	46	162	1024
53	04.02.2026	46	148	1008	84	19.02.2026	53	180	1034
53	05.02.2026	51	159	996	85	20.02.2026	38	141	1022
53	06.02.2026	53	162	992	85	21.02.2026	38	151	1022
54	04.02.2026	40	119	1018	85	22.02.2026	41	158	1026
54	05.02.2026	42	131	1012	85	23.02.2026	42	160	1032
54	06.02.2026	45	141	984	85	24.02.2026	46	164	1036
54	07.02.2026	47	154	976	86	23.02.2026	38	121	1028
55	05.02.2026	38	151	1014	86	24.02.2026	40	126	1030
55	06.02.2026	40	166	1004	86	25.02.2026	45	136	1032
55	07.02.2026	43	179	996	86	26.02.2026	47	145	1032
56	06.02.2026	51	170	996	87	24.02.2026	40	143	1028
56	07.02.2026	55	170	992	87	25.02.2026	44	155	1032
57	07.02.2026	50	158	976	88	25.02.2026	32	155	1030
57	08.02.2026	54	165	960	88	26.02.2026	31	158	1026
57	09.02.2026	55	167	962					
57	10.02.2026	58	157	976					
57	11.02.2026	58	149	996					
57	12.02.2026	56	148	998					
58	08.02.2026	35	141	1002					
58	09.02.2026	40	163	980					
58	10.02.2026	51	179	948					
59	09.02.2026	46	115	1018					
59	10.02.2026	43	125	1016					
59	11.02.2026	46	147	1000					
59	12.02.2026	50	156	984					
59	13.02.2026	55	163	968					
59	14.02.2026	57	163	980					
59	15.02.2026	58	168	1002					
60	11.02.2026	35	140	1010					
60	12.02.2026	43	160	990					
61	11.02.2026	47	115	1020					
61	12.02.2026	39	118	1018					
62	13.02.2026	35	141	1016					
62	14.02.2026	34	157	1010					
62	15.02.2026	35	167	1012					
63	13.02.2026	48	113	1010					

ЕЖЕМЕСЯЧНЫЙ ГИДРОМЕТЕОРОЛОГИЧЕСКИЙ БЮЛЛЕТЕНЬ ДВНИГМИ
 Авторы: Мезенцева Л. И., Каптюг В. А.



Координаты центров циклонов и антициклонов и давление в их центрах в феврале (в срок 00 ВСВ)									
Циклоны					Антициклоны				
Номер	Дата	Широта	Долгота	Давление	Номер	Дата	Широта	Долгота	Давление
63	14.02.2026	46	125	1004					
63	15.02.2026	47	137	1010					
64	14.02.2026	41	130	1012					
64	15.02.2026	45	140	1004					
64	16.02.2026	46	149	988					
64	17.02.2026	52	161	988					
65	14.02.2026	43	154	1006					
65	15.02.2026	47	166	1004					
65	16.02.2026	52	172	998					
66	15.02.2026	57	153	1008					
66	16.02.2026	59	157	1016					
67	15.02.2026	31	135	1016					
67	16.02.2026	34	142	1012					
68	15.02.2026	47	166	1004					
68	16.02.2026	51	172	998					
69	17.02.2026	32	144	1014					
69	18.02.2026	34	152	1012					
70	19.02.2026	42	150	978					
70	20.02.2026	45	158	974					
70	21.02.2026	53	162	992					
71	19.02.2026	35	158	1000					
71	20.02.2026	51	161	980					
72	20.02.2026	59	125	992					
72	21.02.2026	57	137	1002					
73	20.02.2026	55	120	994					
73	21.02.2026	53	130	1004					
74	20.02.2026	32	134	1020					
74	21.02.2026	33	143	1018					
75	21.02.2026	44	113	992					
75	22.02.2026	48	125	984					
76	22.02.2026	44	130	996					
76	23.02.2026	50	137	990					
76	24.02.2026	56	133	1000					
77	24.02.2026	37	179	1004					
77	25.02.2026	40	173	992					
77	26.02.2026	40	175	994					
77	27.02.2026	44	180	992					
78	24.02.2026	31	124	1014					
78	25.02.2026	32	132	1010					
78	26.02.2026	34	143	1006					
78	27.02.2026	35	145	1006					
78	28.02.2026	40	147	1002					

ЕЖЕМЕСЯЧНЫЙ ГИДРОМЕТЕОРОЛОГИЧЕСКИЙ БЮЛЛЕТЕНЬ ДВНИГМИ
Авторы: Мезенцева Л. И., Каптюг В. А.



Координаты центров циклонов и антициклонов и давление в их центрах в феврале (в срок 00 ВСВ)									
Циклоны					Антициклоны				
Номер	Дата	Широта	Долгота	Давление	Номер	Дата	Широта	Долгота	Давление
94	25.02.2026	52	147	1024					
94	26.02.2026	54	149	1028					
95	26.02.2026	52	130	1014					
95	27.02.2026	56	140	1026					



I декада февраля 2026 г.

Японское море

В начале декады погодные условия Японского моря определялись полем повышенного давления.

5 февраля на акваторию моря с Северной Кореи вышел циклон с давлением в центре 1012 гПа. Активно углубляясь, со скоростью 40 км/ч он проследовал в северо-восточном направлении, был над проливом Лаперуза с давлением в центре 982 гПа. На акватории Японского моря циклон вызвал усиление ветра до 20–25 м/с, волнение развивалось до 4–5 м. Сильные ветры и волнение сохранялись вплоть до 8 февраля.

Охотское море

Циклон, который в конце января вышел на акваторию Охотского моря, 1–2 февраля находился над центральной частью моря с давлением в центре 990–996 гПа. Ветер и волнение в зоне его действия оставались сильными, ветер до 15–20 м/с, волнение до 4–5 м. В дальнейшем, заполняясь, циклон медленно двигался в северо-западном направлении. 4 февраля заполнился вблизи северо-западного побережья моря.

3 февраля над южной частью акватории образовался циклон с давлением в центре 1006 гПа. Медленно двигаясь на север, северо-запад, он незначительно углублялся. 5 февраля достиг глубины 996 гПа; за счет взаимодействия с циклоном, развивающимся вблизи юго-восточного побережья Камчатки, сменил направление движения на южное, юго-восточное. 6 числа циклон заполнился вблизи юго-западного побережья Камчатки. Скорость ветра с этим процессом не превышала 9–14 м/с, волнение – до 2 м.

6 февраля через южную часть моря в северо-восточном направлении со скоростью 40 км/ч проследовал циклон с давлением в центре 982–984 гПа, вызвав усиление ветра до 18–23 м/с, волнение до 4–5 м. 7 февраля вблизи юго-восточного побережья Камчатки, над северо-западной частью Тихого океана циклон перешел в стадию высокого малоподвижного барического образования, заполнялся медленно. Циклон продолжал оказывать влияние на погодные условия Охотского моря до конца декады. Скорость северных ветров оставалась сильной до 17–22 м/с, волнение – до 4–5 м. В конце декады, 10 числа, циклон перевалил через Камчатку и вернулся на акваторию Охотского моря с давлением в центре 980 гПа.

Берингово море

В первой половине декады над западной половиной Берингова моря установилось поле повышенного давления в виде гребня, распространяющегося с арктического бассейна. Над восточной частью моря сформировались напряженные барические градиенты, обуславливающие ветры до 12–17 м/с северной четверти, волнение до 2–3 м.

6 февраля вблизи восточных островов Алеутской гряды образовался циклон с давлением 984 гПа. Без развития он перемещался на запад, северо-запад со скоростью 20–30 км/ч; заполнился 7 числа над центральной частью акватории. 6 февраля на северной, северо-западной периферии циклона сохранялся сильный ветер до 12–17 м/с, волнение до 2–3 м.

8 февраля на погодные условия западной части моря начал оказывать влияние циклон с давлением в центре 960 гПа, который развивался вблизи юго-западного побережья Камчатки. 9 числа циклон вышел на западную часть моря, заполнившись до 962, чуть позже – до 968 гПа. 10 февраля циклон перевалил через Камчатку, вышел в Охотское море с давлением в центре 980 гПа. Скорость ветра над западной половиной моря возрастала до 15–20 м/с, волнение – до 3–4 м.

В конце суток 8 февраля на юг Берингова моря вышел ещё один тихоокеанский циклон с давлением в центре 962 гПа. Двигаясь на север, северо-запад со скоростью 50 км/ч, циклон

заполнялся. Наиболее сильный ветер наблюдался в северном секторе циклона, где скорость ветра достигала 20–25 м/с, волнение развивалось до 7–8 м. Циклон заполнился 10 числа вблизи северного побережья моря.

В самом конце декады, 10 февраля, на акваторию моря вышел южный циклон с давлением в центре 944 гПа. Циклон двигался на север, северо-восток со скоростью 40 км/ч, обуславливая жесткие штормовые условия: ветер до 25–30 м/с, волнение до 7–8 м.

Северо-западная часть Тихого океана

Циклон, который в конце января вышел с акватории Охотского моря, 1 февраля располагался в районе с координатами 42° с. ш., 170° в. д. с давлением в центре 988 гПа; двигался на восток, юго-восток со скоростью 30 км/ч без развития. 2 февраля он втянулся в систему циклона, развивающегося над северо-восточной частью Тихого океана.

В начале декады над акваторией района наблюдалось поле низкого атмосферного давления с несколькими частными неглубокими циклонами. 2 февраля один из них получил развитие. Образовавшись в районе с координатами 34° с. ш., 148° в. д. с давлением в центре 1012 гПа, циклон начал углубляться, двигался на восток, северо-восток, с 4 числа – на восток, юго-восток со скоростью 40 км/ч. 5 февраля по 38-й параллели он переместился в западное полушарие с давлением в центре 980 гПа. 3 числа у точки окклюзии этого циклона выделился ещё один центр, который также двигался на восток, перешел в западное полушарие 4 февраля с давлением в центре 976 гПа. Скорость ветра в зоне циклонической системы достигала 20–25 м/с, волнение развивалось до 7–8 м.

5 февраля в районе с координатами 40° с. ш., 150° в. д. образовался циклон с давлением в центре 1014 гПа. Двигаясь на восток, северо-восток со скоростью 60 км/ч, циклон углублялся, 7 числа по 43-й параллели покинул восточное полушарие с давлением в центре 996 гПа. Ветер в зоне циклона не превышал 12–17 м/с, волнение – не более 3 м.

7 февраля с Охотского моря на акваторию района переместился циклон глубиной 976 гПа. Он медленно двигался на восток, северо-восток, 9 числа через Командоры вышел в Берингово море с давлением в центре 966 гПа. Скорость ветра в зоне действия циклона достигала 20–25 м/с, волнение развивалось до 6–7 м.

7 февраля в районе с координатами 34° с. ш., 154° в. д. образовался циклон с давлением в центре 994 гПа. Двигаясь на северо-восток со скоростью 70 км/ч, циклон углублялся, 10 числа переместился в Берингово море с давлением в центре 948 гПа. Скорость ветра в зоне циклона достигала 25–30 м/с, волнение развивалось до 7–8 м.

9–10 февраля от восточного Китая вдоль 30-й параллели со скоростью 40–50 км/ч перемещался антициклон с давлением в центре 1028 гПа.

II декада февраля 2026 г.

Японское море

В начале второй декады над Японским морем сохранялась зимняя муссонная циркуляция, но ветры и волнение моря ослабели.

14 февраля на западную часть акватории вышел неглубокий западный циклон. Он проследовал над морем в северо-восточном направлении со скоростью 40 км/ч, не вызвав значительного усиления ветра и волн, 15 числа с давлением в центре 1002 гПа через пролив Лаперуза переместился в Охотское море.

Следующий циклон вышел на западную часть Японского моря 17 февраля с давлением в центре 1010 гПа. Перемещался на северо-восток со скоростью 30 км/ч, 18 февраля вблизи западного побережья о. Хоккайдо углубился до 998 гПа. В тылу циклона ветер усилился до

15–18 м/с, волнение возросла до 3–4 м. 19 февраля циклон перевалил через Хоккайдо, пополнил тихоокеанский развивающийся циклон.

Охотское море

Циклон, который в конце первой декады вышел на северную часть Охотского моря, продолжал медленно двигаться на запад, давление в его центре составляло 996 гПа. 12 числа он заполнился.

11 февраля на южную часть акватории с Японского моря переместился циклон с давлением в центре 1000 гПа. Углубляясь, он двигался вдоль Курильской гряды на северо-восток со скоростью 50 км/ч. 12 числа с давлением в центре 976 гПа циклон вышел на южную часть Камчатки. В Охотском море отмечались усиление ветра до 15–20 м/с, волнение до 4–5 м.

15 февраля на южную часть акватории с Японского моря вышел следующий циклон с давлением 1002 гПа. Двигаясь на северо-восток со скоростью 30 км/ч, циклон углублялся, 16 февраля углубился до 984 гПа. Вскоре пересек Курильскую гряду, продолжал перемещаться вдоль нее со стороны Тихого океана. 17 числа циклон был вблизи юго-восточного побережья Камчатки с давлением в центре 988 гПа. В Охотском море циклон вызвал усиление ветра до 15–20 м/с, волнение до 4–5 м.

В период 17–18 февраля на севере моря располагался частный циклон с давлением 1004–1006 гПа. Он переместился с Хабаровского края, двигался медленно на восток. Значительного усиления ветра и волн он не вызвал.

19 февраля на юге моря, а 20 числа – на востоке акватории наблюдалось усиление ветра до 15–18 м/с, волнение развивалось до 3–4 м. Что обуславливалось активным циклогенезом на прилегающей акватории Тихого океана.

Берингово море

Глубокий обширный циклон с давлением в центре 948 гПа, который в конце первой декады вышел на акваторию моря, продолжал медленно двигаться в северо-восточном направлении, заполнялся. 13 числа с давлением в центре 988 гПа он переместился на Аляску. Скорость ветра в Беринговом море достигала 23–28 м/с, волнение развивалось до 7–8 м.

13 февраля на юго-западную часть моря вышел циклон с давлением в центре 968 гПа. Он медленно двигался в северном направлении, заполнялся, 15 числа у северного побережья моря перестал прослеживаться на картах погоды. Циклон вызвал усиление ветра до 20–25 м/с, волнение до 6–7 м.

Следующий циклон переместился на акваторию моря с юга 16 февраля с давлением в центре 990 гПа. Двигаясь на север со скоростью 40 км/ч, он продолжал углубляться, 17 февраля находился над Анадырским заливом с давлением в центре 974 гПа. Ветер в зоне действия циклона усиливался до 18–23 м/с, волнение – до 5–6 м. 18 числа, заполнившись до 988 гПа, циклон переместился в Чукотское море.

17 февраля на юго-запад моря вышел еще один циклон с давлением в центре 988 гПа. Он проследовал через акваторию моря в северо-восточном направлении со скоростью 40 км/ч, 18 числа вслед за предыдущим циклоном переместился в Чукотское море с давлением в центре 988 гПа. Наиболее сильный ветер до 15–20 м/с отмечался в восточном секторе циклона; волнение развивалось до 5–6 м.

В период 18–20 февраля над южной частью моря проследовал антициклон с давлением в центре 1046 гПа. В конце декады он находился над восточными островами Алеутской гряды. В это время на западе моря до 18–23 м/с усилились ветры юго-восточной четверти. Волнение возросло

до 5–6 м. Этому способствовал глубокий циклон, развивавшийся вблизи юго-восточного побережья Камчатки.

Северо-западная часть Тихого океана

В начале декады с восточного Китая на акваторию северо-западной части Тихого океана переместился антициклон с давлением в центре 1026 гПа. Разрушившись до 1022 гПа, он со скоростью 40 км/ч двигался на восток вдоль 32–33° с. ш. 15 февраля его пополнил антициклон, скатившийся с южной части Охотского моря. Антициклоническая система усилилась и продолжила движение на восток. Только 19 февраля по 38-й параллели антициклон переместился в западное полушарие с давлением в центре 1030 гПа.

11 февраля на западе района получили развитие два циклона. Один следовал вдоль Курильской гряды над Охотским морем, 12 числа с давлением в центре 976 гПа вышел на юг Камчатки. Вторым образовался на полярном фронте у юго-восточного побережья о. Хонсю. Активно углубляясь, последний двигался на северо-восток, север со скоростью 60 км/ч. 13 февраля циклоны объединились в один циклонический вихрь с давлением в центре 968 гПа. Ветер с этим процессом в период наибольшего развития циклонов усиливался до 20–25 м/с, волнение возрастало до 5–6 м.

12 февраля на юге района, в координатах 29° с. ш., 167° в. д., образовался молодой циклон с давлением в центре 1008 гПа. Углубляясь, он перемещался на северо-восток со скоростью 70 км/ч, 14 февраля по 47-й параллели с давлением в центре 1000 гПа покинул восточное полушарие. Наиболее сильный ветер до 15–20 м/с отмечался в передней части циклона, волнение развивалось до 5–7 м.

В период 13–14 февраля через акваторию района вдоль 35-й параллели в восточном направлении проследовал циклон, углублявшийся от 1016 до 1008 гПа. 15 февраля, попав в тыловую часть развивающегося к востоку от него циклона, заполнился, не вызвав значительного усиления ветра и волн.

В конце суток 13 февраля в районе Хоккайдо образовался волновой циклон с давлением в центре 1008 гПа. Двигаясь на восток, северо-восток со скоростью 40–50 км/ч, он углублялся. 16 числа переместился в Берингово море с давлением в центре 990 гПа. Над северо-западной частью Тихого океана в зоне действия этого циклона ветер не превышал 15–18 м/с, волнение – до 3–4 м.

17 февраля с Японского моря на акваторию района переместился антициклон с давлением в центре 1020 гПа. Усиливаясь, он двигался на восток, северо-восток со скоростью 50 км/ч, 19 февраля по 52-й параллели перешел в западное полушарие с давлением в центре 1034 гПа.

18 февраля вблизи юго-восточного побережья о. Хонсю образовался циклон глубиной 1010 гПа. Двигался на северо-восток со скоростью 50 км/ч, активно углублялся, 19 февраля давление в его центре составляло 968 гПа. 20 февраля циклон вышел к юго-восточному побережью Камчатки с давлением 986 гПа, здесь перешел в стадию малоподвижной депрессии, заполнялся. В зоне циклона наблюдались штормовые условия: ветер до 20–25 м/с, волнение до 7–8 м.

19–20 февраля юго-западная часть района находилась под воздействием нескольких ядер высокого давления, их мощность составляла 1018–1020 гПа. Они двигались на восток со скоростью 20–30 км/ч без существенного развития.

III декада февраля 2026 г.

Японское море

21 февраля ветры на акватории Японского моря устойчиво перешли к южным румбам, что определялось передней частью приближающегося западного циклона. 22 числа на акваторию моря

вышел циклон с активным фронтальным разделом. Углубляясь, циклон двигался на северо-восток, север, стремясь к высотному центру, расположенному над средним течением Амура. Давление в центре циклона понижалось с 996 до 988 гПа. 23 февраля циклоническая система начала заполняться, двигалась на север над Хабаровским краем. С этим процессом ветер на акватории моря усиливался до 15–20 м/с, волнение развивалось до 4–5 м.

В середине декады, 25 февраля, над севером моря проследовало ядро с давлением в центре 1032 гПа. В это время над южными островами Японии перемещался развивающийся циклон. Повышенные барические градиенты между этими объектами обусловили свежие ветры северо-восточной четверти до 10–15 м/с, волнение развивалось до 2–3 м. Синоптическая ситуация повторилась 28 февраля.

Охотское море

В начале декады на восточную часть Охотского моря продолжал оказывать влияние циклон, который, заполняясь, двигался вдоль восточного побережья Камчатки на север. На этой части акватории сохранялись северные ветры до 10–15 м/с, волнение до 3–4 м.

23–24 числа погодные условия формировались под влиянием циклона, который развивался над Хабаровским краем. Сначала на юго-западе, затем на остальной части акватории моря наблюдались усиление ветра до 15–20 м/с, волнение до 3–4 м.

В середине декады установилось малоградиентное поле пониженного давления.

26 февраля на юг акватории с Японского моря переместилось ядро с давлением в центре 1032 гПа. В конце суток, не меняя интенсивности, оно отошло на восток. 27 февраля Охотское море вновь находилось под воздействием поля высокого давления, представленного гребнем, распространяющимся от чукотского антициклона.

28 числа над морем усилились ветры восточной четверти, обусловленные активным циклогенезом над прилегающими районами Тихого океана и мощными антициклонами над северо-восточными районами Азии. Скорость ветра возрастала до 15–18 м/с, волнение развивалось до 3–4 м.

Берингово море

В начале декады над акваторией Берингова моря наблюдались напряженные барические градиенты, которые сформировались между циклоном, который двигался вдоль восточного побережья Камчатки на север, и мощным антициклоном с давлением в центре 1048 гПа, расположенным над северо-восточной частью Тихого океана. Скорость южных ветров над акваторией моря достигала 15–20 м/с, волнение развивалось до 3–4 м.

23 февраля на центральную часть моря с юга вышел циклон с давлением в центре 1016 гПа. Без развития со скоростью 40 км/ч он проследовал в северном направлении, 24 числа переместился на Аляску.

24–25 февраля с севера на акваторию моря распространился мощный гребень, антициклон с давлением в центре 1056 гПа располагался над Чукоткой. 25–26 февраля над южной частью моря на южной границе гребня сформировались значительные барические градиенты. Барическому напряжению способствовал и активный циклогенез над северной частью Тихого океана. Скорость ветров северо-восточной четверти возрастала до 17–22 м/с, волнение развивалось до 5–6 м. Синоптическая ситуация сохранялась до конца декады.

Северо-западная часть Тихого океана

В начале декады вблизи Камчатки располагался циклон с давлением в центре 992 гПа. Заполняясь, он двигался вдоль восточного побережья Камчатки на север со скоростью 30 км/ч, 22



числа вышел на Чукотку. 21 февраля на севере района ветер, обусловленный этим циклоном, оставался свежим до 10–15 м/с, волнение моря – до 5–6 м.

Одно из ядер, которое вышло на акваторию района с Японского моря в конце второй декады, усиливаясь, двигалось на восток, северо-восток со скоростью 20–30 км/ч. 24 числа оно находилось над севером района с давлением в центре 1036 гПа; вскоре потеряло самостоятельную циркуляцию – вошло в систему мощного антициклона, установившегося над Колымой.

В период 22–23 февраля с юга вдоль 180-го меридиана со скоростью 30–40 км/ч перемещался циклон с давлением в центре 1010 гПа. 23 февраля он находился в районе с координатами 31° с. ш., 178° в. д., 24 февраля начал активно углубляться, развернулся на северо-запад. 25 февраля в районе с координатами 41° с. ш., 174° в. д. циклон перешел в стадию малоподвижной депрессии с давлением в центре 992 гПа. Скорость ветра в зоне циклона возрастала до 18–23 м/с, волнение – до 7–8 м. 26–27 февраля в общей циркуляции основного циклона наблюдалось развитие ещё нескольких циклонических вихрей. Циклоническая система медленно двигалась на восток, незначительно меняя интенсивность. Переместилась в северо-восточную часть океана лишь 28 февраля.

24 февраля в районе с координатами 33° с. ш., 154° в. д. образовалось ядро с давлением в центре 1028 гПа. Оно медленно двигалось на восток, незначительно меняя интенсивность. 27 числа разрушилось на юге, примерно в районе с координатами 30° с. ш., 163° в. д.

24 февраля на юго-западе в районе с координатами 31° с. ш., 123° в. д. образовался молодой циклон с давлением в центре 1014 гПа. Двигаясь на восток со скоростью 30 км/ч, циклон незначительно углублялся, 26 числа вблизи юго-восточного побережья о. Хонсю он перешел в стадию малоподвижной депрессии. Давление в его центре составляло 1004 гПа. 28 числа циклон отмечался на картах погоды последний раз с давлением в центре 1000 гПа. На северной, северо-восточной периферии циклона, на границе с антициклоном, ветер усиливался до 15–20 м/с, волнение развивалось до 3–4 м.

27 февраля в районе с координатами 30° с. ш., 131° в. д. образовался молодой циклон с давлением 1008 гПа. Он двигался на восток, северо-восток со скоростью 50–60 км/ч, углублялся, в конце декады находился в районе с координатами 41° с. ш., 150° в. д. с давлением в центре 984 гПа. Скорость ветра в зоне циклона к этому времени возросла до 20–25 м/с, волнение усилилось до 7–8 м.

ЕЖЕМЕСЯЧНЫЙ ГИДРОМЕТЕОРОЛОГИЧЕСКИЙ БЮЛЛЕТЕНЬ ДВНИГМИ
Авторы: Мезенцева Л. И., Каптюг В. А.

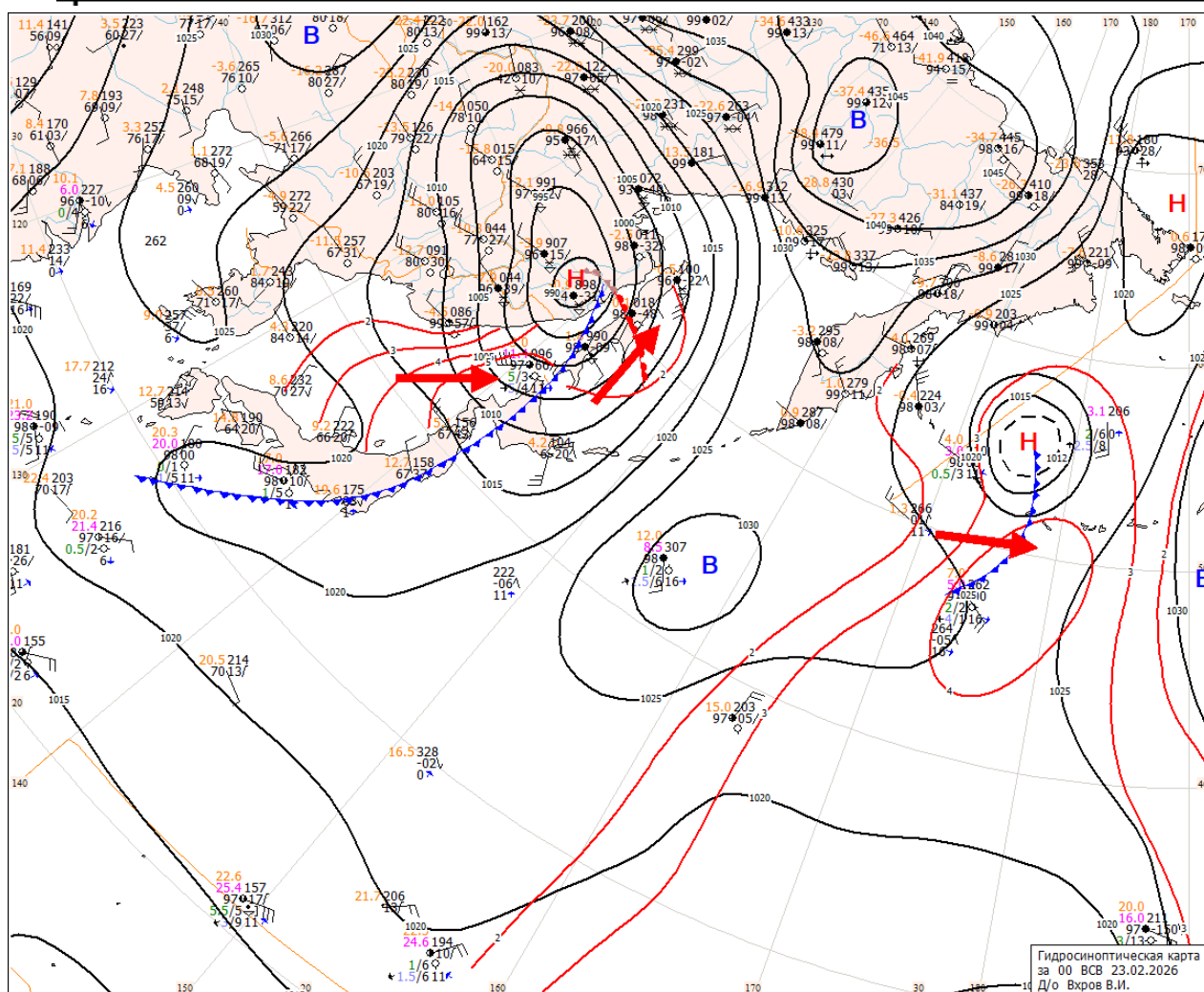


Рис. 1-2 Приземная карта за 00 ВСВ 23 февраля 2026 г.

1.2 Анализ термобарических полей

Карты термобарических полей месячного разрешения над районом обзора построены на основе данных реанализа NCEP/NCAR, приведены ниже на рис. 1-3–1-5. Анализ термобарических полей выполнен на базе средних за месяц карт барической топографии для стандартного изобарического уровня 500 гПа, давления на уровне моря и температуры воздуха на стандартном изобарическом уровне 850 гПа. Аномалии рассчитаны относительно средних многолетних значений за период 1981–2010 гг.

Региональный обзор

В феврале высотное термобарическое поле средней тропосферы носило преимущественно зональный характер распределения. Высотная фронтальная зона тоже была ориентирована зонально, приподнята к высоким широтам (за счет избыточного тепла в умеренной широтной зоне). Зимняя дальневосточная ложбина сильно сглажена, без четкой оси. Основной очаг тропосферного холода сосредоточен над полярной зоной материка между бассейнами Оби и Лены. Депрессионное поле над этими районами подкреплено отрицательными аномалиями геопотенциальных высот поверхности H_{500} до $-2\dots-4$ дам. Арктическое побережье материка, моря Восточной Арктики оставались в зоне значительных положительных аномалий геопотенциальных высот, несколько ослабевших по сравнению с январскими значениями. Над северо-восточной частью Тихого океана высотная фронтальная зона была значительно деформирована, здесь сохранялся мощный термобарический гребень (рис. 1-3). Его влияние распространялось, в том числе, на Берингово море и Чукотку. Аномалии геопотенциальных высот в области гребня достигали $+15\dots+20$ дам (тропосфера была очень теплой).

У земной поверхности над прибрежными районами Дальнего Востока муссонная циркуляция была слабой, как по отношению к климатическому состоянию, так и по сравнению с январем. Главные региональные центры действия атмосферы значительно ослабели. Азиатский антициклон, оставаясь традиционно над территорией Монголии, был слабее обычного на 3–4 гПа, по отношению к январю давление в его центре стало ниже на 6 гПа. Наблюдалась деградация и его отрогов. Алеутская депрессия оставалась смещённой на запад от климатического положения, располагалась над южной частью Камчатки и прилегающими акваториями Тихого океана. Давление в её центре выше нормы на 8 гПа. Над Алеутской грядой, в месте климатического положения депрессии, аномалии атмосферного давления достигали $+9\dots+11$ гПа. Тихоокеанский бассейн преимущественно, кроме крайних западных и южных акваторий, был занят значительными положительными аномалиями атмосферного давления – циклоническая деятельность в течение месяца была слабой, а антициклоническая, наоборот, – не по сезону более активной. Восточная Арктика оставалась в зоне высокого атмосферного давления (рис. 1-4).

Японское море

В средней тропосфере над Японским морем наблюдался устойчивый западно-восточный перенос воздуха. В среднем за месяц воздушная масса над морем была теплее климатической нормы – аномалии геопотенциальных высот поверхности H_{500} положительные до $+4\dots+8$ дам.

У земной поверхности море оставалось в пограничном положении между алеутской депрессией и азиатским антициклоном. За счет слабого развития центров действия атмосферы барическое напряжение между ними тоже было слабым. Фон атмосферного давления над большей частью моря ниже нормы на 1–2 гПа.

Температура воздуха на уровне H_{850} (нижняя тропосфера) над морем распределена от $0\text{ }^{\circ}\text{C}$ на юге до $-16\text{ }^{\circ}\text{C}$ на севере. Это состояние для большей части акватории выше нормы примерно на $3\text{ }^{\circ}\text{C}$. В течение месяца температура воздуха над морем повысилась на 2–4 $^{\circ}\text{C}$.

Охотское море

В средней тропосфере северо-западная часть Охотского моря находилась под воздействием депрессии, остальная часть акватории – в зоне юго-западных потоков воздуха. Воздушная масса над морем оставалась преимущественно теплее климатической нормы. Наибольшие отклонения от нормы наблюдались над юго-восточной частью акватории, здесь аномалии геопотенциальных высот поверхности H_{500} достигали +7...+9 дам.

У земной поверхности над Охотским морем сохранялось депрессионное поле. При этом на западе акватории атмосферное давление было ниже нормы на 1–2 гПа, а на востоке, северо-востоке – выше нормы на 1–3 гПа.

Температура воздуха в нижнем слое тропосферы на уровне H_{850} над морем распределена от -10 °С на юге до -20 °С на северо-западе. Это состояние для большей части акватории превышает норму на 2–5 °С. В течение месяца температура воздуха над большей частью моря понизилась на 1–2 °С, над крайней южной частью выросла на 1–2 °С.

Берингово море

В средней тропосфере Берингово море находилось под воздействием мощного термобарического гребня. Воздушная масса над всей акваторией оставалась теплой – аномалии геопотенциальных высот поверхности H_{500} положительные от +5 до +19 дам.

У поверхности земли над южной половиной акватории сохранялось поле низкого атмосферного давления, север моря – на северной периферии циклонической системы, в пограничном положении с антициклонами, установившимися над Колымой и Восточной Арктикой. Атмосферное давление в среднем за месяц выше нормы на 4–11 гПа.

Температура воздуха в нижнем слое тропосферы на уровне H_{850} над морем распределена от -4 °С на юго-востоке до -14 °С на северо-западе акватории. Это состояние для большей части моря превышает норму на 1–4 °С (наибольшие отклонения от нормы – над юго-востоком акватории). За месяц температура воздуха над морем изменилась незначительно, можно выделить лишь её повышение на 1–2 °С на юго-востоке акватории.

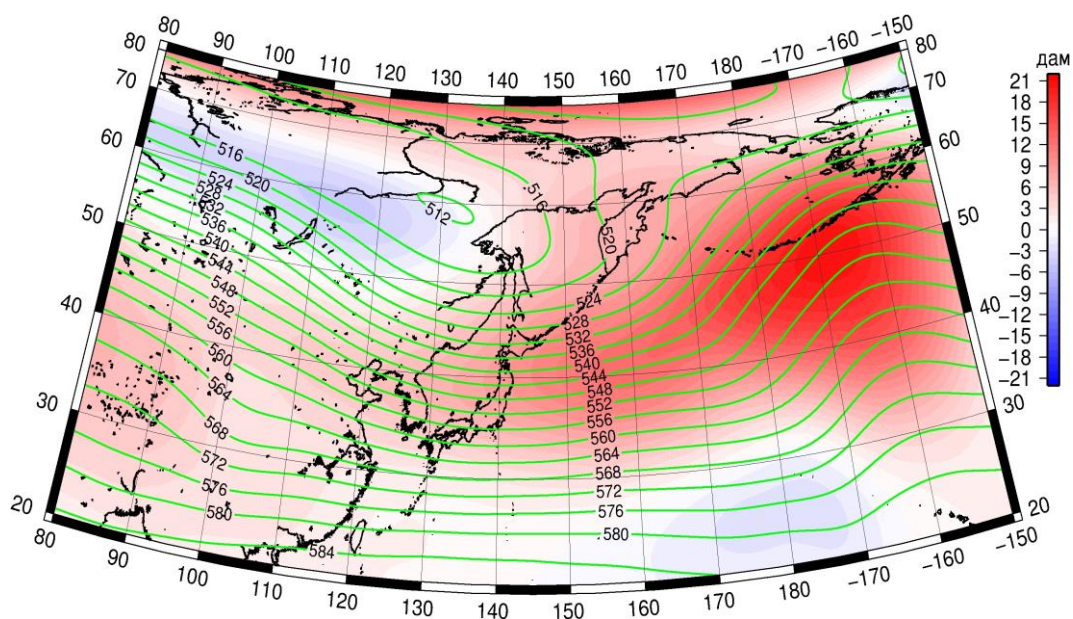


Рис. 1-3 Среднее поле H_{500} (изогипсы) и его аномалии (изополосы) в феврале 2026 г. (дам)

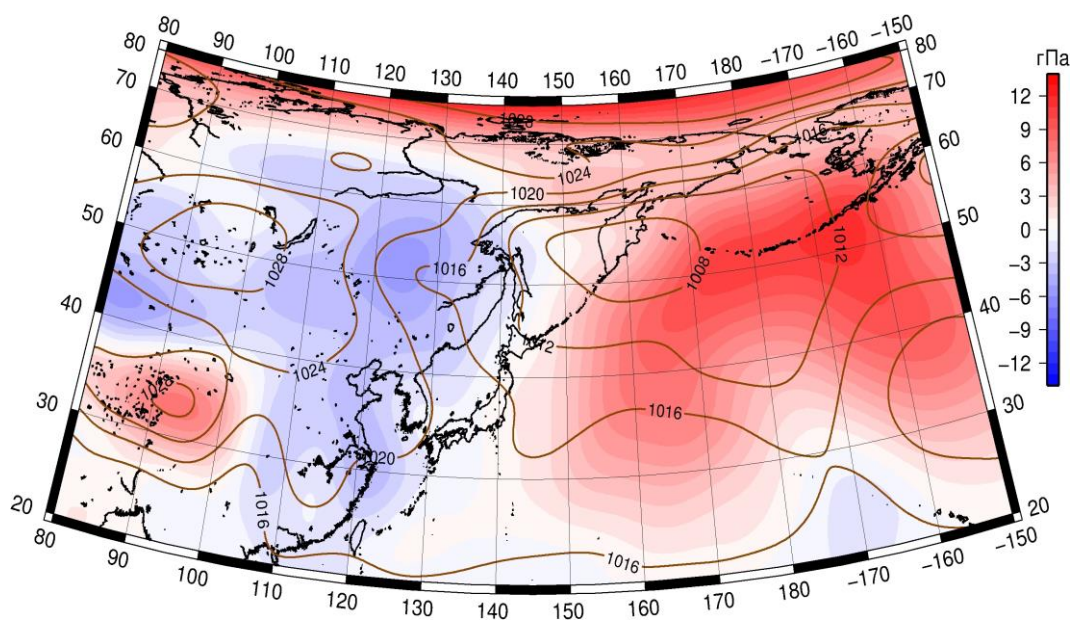


Рис. 1-4 Среднее поле атмосферного давления у поверхности земли (изобары) и его аномалии (изополосы) в феврале 2026 г. (гПа)

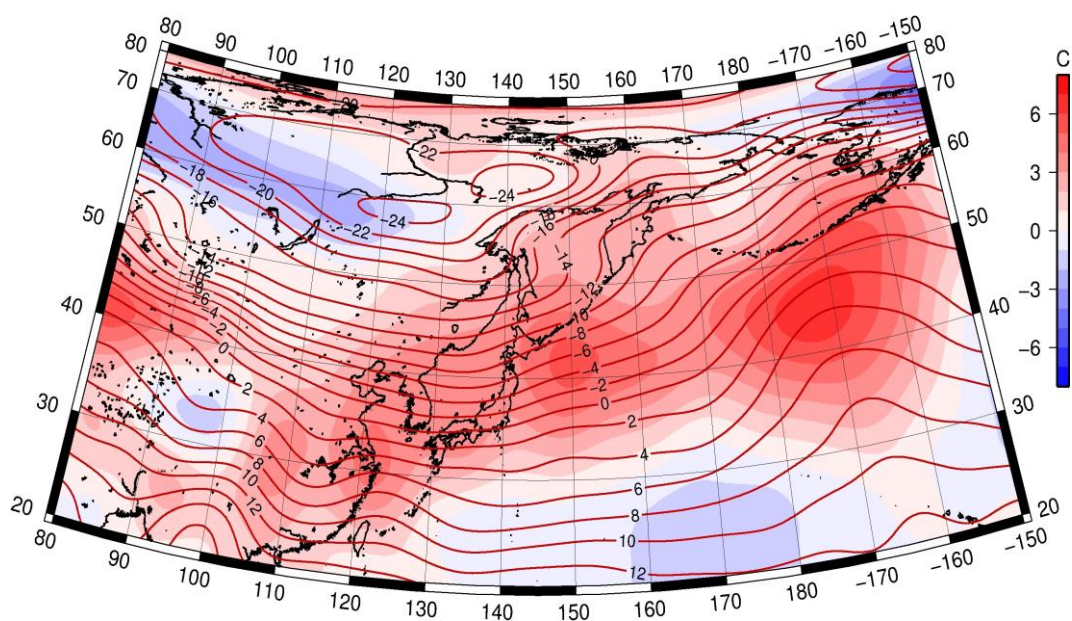


Рис. 1-5 Среднее поле T_{850} (изотермы) и его аномалии (изополосы) в феврале 2026 г. ($^{\circ}\text{C}$)

1.3 Региональные индексы циркуляции атмосферы

1.3.1 Зональный и меридиональный перенос воздуха над П е. с. р.

Характеристика основных воздушных течений в средней и нижней тропосфере за февраль 2026 г. выполнена на основе индексов атмосферной циркуляции, приведенных ниже в таблице и на рис. 1-6–1-8. В данном разделе для характеристики индексов принята следующая терминология: норма – $\pm 0,3\text{STD}$ относительно нормы; незначительное отклонение от нормы – $\pm(0,4-0,7)\text{STD}$; значительное отклонение от нормы – $\geq 2,0\text{STD}$. Аномалии рассчитаны относительно средних многолетних значений (нормы) за период 1981–2010 гг.

Японское море

В феврале во всем слое тропосферы над Японским морем сохранялось преобладание переноса воздуха с запада на восток (значения зональных индексов положительные), его интенсивность превышала норму (K_z равен 1,4STD и 1,7STD в средней тропосфере и у поверхности земли соответственно).

Интенсивность межширотного обмена во всем слое тропосферы над Японским морем была слабой ($|K_m|$ равен -1,2STD и -1,6STD соответственно в средней тропосфере и у поверхности земли); что определялось ослаблением северной составляющей обмена (K_m равен 1,1STD и 1,6STD соответственно). При этом во всем слое тропосферы сохранилось преобладание движений воздуха с севера (значения меридиональных индексов отрицательные).

Охотское море

Над Охотским морем в средней тропосфере преобладал перенос воздуха с запада на восток (значение зонального индекса положительное), превышавший по интенсивности климатическую норму (K_z равен 0,9STD). В нижнем слое тропосферы сохранилось преобладание движений воздуха с востока (значение зонального индекса отрицательное), его интенсивность незначительно отличалась от климатической (K_z равен 0,4STD).

Интенсивность межширотного обмена в средней тропосфере над Охотским морем превышала норму, что определялось усилением южной составляющей обмена ($|K_m|$ равен 1,0STD, K_m – 1,3STD). У поверхности земли интенсивность межширотного обмена была слабой, что определялось ослаблением северной компоненты обмена ($|K_m|$ равен -2,0STD, K_m – 1,9STD). В течение месяца в средней тропосфере над морем сохранялось преобладание движений воздуха с юга (значение меридионального индекса положительное), в нижнем слое – с севера (значение меридионального индекса отрицательное).

Берингово море

Над Беринговым морем в среднем слое тропосферы перенос воздуха с запада на восток оставался преобладающим (значение зонального индекса положительное); его интенсивность превышала норму (K_z равен 1,3STD). У поверхности земли сохранилось преобладание движений воздуха с востока (значение зонального индекса отрицательное), но их интенсивность была слабой (K_z составлял 1,4STD).

Интенсивность меридиональных движений воздуха в средней тропосфере над Беринговым морем превышала климатическую норму ($|K_m|$ равен 0,8STD), что определялось усилением южной составляющей (K_m составлял 1,1STD). У поверхности земли меридиональная компонента была слабой ($|K_m|$ равен -1,0STD), что определялось ослаблением северной составляющей (K_m равен

0,8STD). Во всем слое тропосферы преобладали движения воздуха с юга (значения меридиональных индексов положительные).

Индексы циркуляции атмосферы и их аномалии по П е. с. р.

Индекс*	Уровень (высота)	Декабрь			Январь			Февраль		
		значение	ASTD**	STD**	значение	ASTD**	STD**	значение	ASTD**	STD**
Kz Ям	500 гПа	30905	1.3	3775	23497	-0.2	3921	26210	1.4	2736
Kz Ом		9805	0.2	4744	-2250	-1.6	4807	8147	0.9	4128
Kz Бм		5888	0.0	5078	2456	-0.1	4567	9073	1.3	4910
Kz 35_50		19386	-1.6	2945	21388	-0.2	3249	20008	-0.4	2820
Kz 50_70		7405	0.7	2894	713	-0.9	3146	5100	0.6	2455
Kz 35_70		12761	-0.5	1757	9994	-0.9	2024	11488	0.0	1641
Km Ям		-1070	1.1	1609	-5606	-1.3	1376	-2598	1.1	1806
Km Ом		8848	5.3	1450	1646	0.2	1829	2878	1.3	1637
Km Бм		1982	-0.2	1599	2905	0.3	1249	4310	1.1	1883
Km 35_50		-259	0.8	792	-803	0.2	957	405	1.2	1114
Km 50_70		1328	2.3	698	232	0.5	737	879	1.1	896
Km 35_70		651	2.0	581	-212	0.4	724	665	1.2	893
Km Ям		4111	-0.3	1559	7587	1.3	1680	3685	-1.2	2353
Km Ом		14646	6.5	1761	2969	-0.4	1969	4871	1.0	1476
Km Бм		13197	3.6	2329	5180	0.2	1787	7597	0.8	3062
Km 35_50		7351	2.1	960	7077	1.8	843	5988	0.4	1143
Km 50_70		9039	3.5	1200	4038	-0.6	1304	4841	0.1	1458
Km 35_70		8108	3.3	949	5263	0.3	887	5186	0.1	1123
Kz Ям	1000 гПа	2725	0.9	1185	1450	0.4	1500	2933	1.7	1277
Kz Ом		365	0.7	2105	-4929	-1.1	2234	-1739	0.4	1961
Kz Бм		-2973	-0.1	3331	-5760	-0.3	2691	-1635	1.4	2362
Kz 35_50		1233	-2.1	1286	2701	0.1	1684	2253	0.1	1516
Kz 50_70		354	0.6	1624	-3839	-1.3	1722	-2090	-0.2	1442
Kz 35_70		701	-0.5	997	-1056	-1.1	1171	-293	-0.2	958
Km Ям		-4614	0.2	869	-7549	-2.2	970	-3063	1.6	1052
Km Ом		168	3.4	1155	-3359	0.7	1147	-1871	1.9	1086
Km Бм		-22	0.4	1094	-64	0.4	944	694	0.8	1410
Km 35_50		-1301	1.2	558	-2165	0.0	687	-810	1.1	796
Km 50_70		-226	2.0	479	-1403	-0.3	518	-632	0.8	619
Km 35_70		-660	2.0	408	-1690	-0.2	530	-675	1.0	644
Km Ям		6300	-0.2	1183	10307	2.2	1321	4167	-1.6	1428
Km Ом		6901	0.3	1756	5924	-0.5	1798	3154	-2.0	1682
Km Бм		6480	2.4	1355	1461	-1.2	1378	1887	-1.0	1631
Km 35_50		3307	-0.9	532	3811	-0.6	691	2870	-1.4	795
Km 50_70		4517	1.3	681	3410	-0.3	648	2465	-1.4	737
Km 35_70		3934	0.6	543	3539	-0.5	576	2596	-1.6	644

* Описание индексов приведено в разделе «Терминология».

** Климатические характеристики (STD, ASTD) рассчитаны относительно норм 1981–2010 гг.



Умеренные широты между 35° и 50° с. ш. над П е. с. р.

В зоне умеренных широт между 35° и 50° с. ш. над П е. с. р. западно-восточный перенос оставался доминирующим (зональные индексы положительные); его интенсивность в средней тропосфере была незначительно слабее нормы, у поверхности земли – близка к норме (K_z соответственно равен $-0,4STD$ и $0,1STD$).

Интенсивность меридиональных движений воздуха в средней тропосфере над указанной широтной зоной незначительно превышала норму, что определялось усилением южной составляющей ($|K_m|$ равен $0,4STD$, $K_m - 1,2STD$); в среднем за месяц сложилось преобладание движений воздуха с юга на север (значение меридионального индекса положительное). В нижнем слое тропосферы интенсивность межширотного обмена была слабой, за счет ослабления северной составляющей обмена ($|K_m|$ равен $-1,4STD$, $K_m - 1,1STD$); в среднем за месяц сохранилось преобладание движений воздуха с севера (значение меридионального индекса отрицательное).

Широтная зона 50–70° с. ш. над П е. с. р.

В средней тропосфере над широтной зоной 50–70° с. ш. П е. с. р. в течение месяца сохранялось преобладание движений воздуха с запада на восток (значение зонального индекса положительное); их интенсивность незначительно превышала норму (K_z равен $0,6STD$). В нижнем слое тропосферы преобладал перенос воздуха с востока на запад (значение зонального индекса отрицательное), его интенсивность близка к норме ($K_z - -0,2STD$).

Интенсивность межширотного обмена в средней тропосфере над указанной широтной зоной была близка к климатической, но многолетний баланс между меридиональными составляющими смещен в пользу южной компоненты обмена ($|K_m|$ равен $0,1STD$, $K_m - 1,1STD$); в среднем за месяц сохранилось преобладание движений воздуха с юга (значение меридионального индекса положительное). В нижнем слое тропосферы межширотный обмен был слабым, в большей мере за счет ослабления северной составляющей обмена ($|K_m|$ равен $-1,4STD$, $K_m - 0,8STD$); в среднем за месяц сохранилось преобладание движений воздуха с севера (значение меридионального индекса отрицательное).

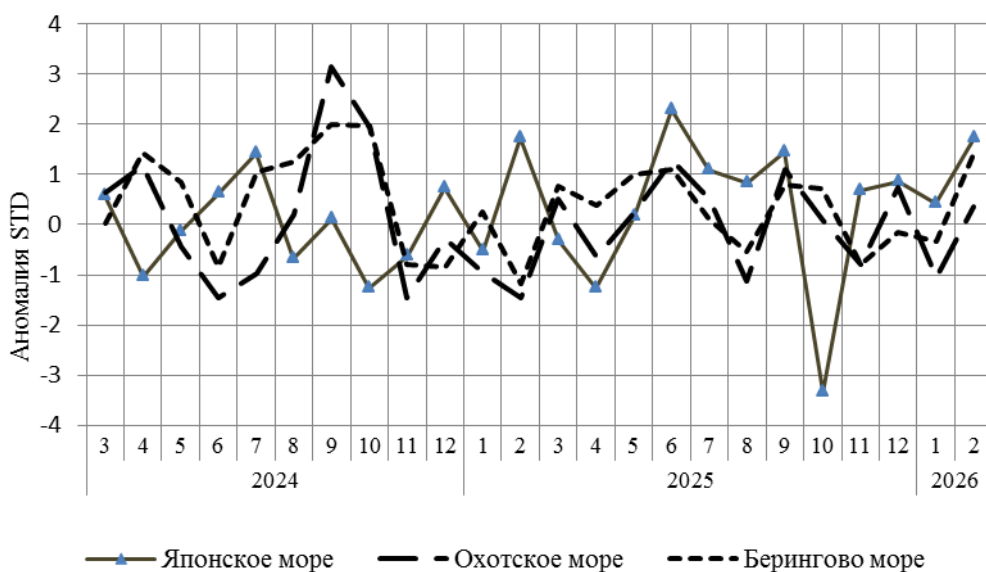


Рис. 1-6 Годовой ход стандартизованных аномалий индекса интегрального зонального переноса воздуха с учетом знака (K_z) в нижней тропосфере над дальневосточными морями

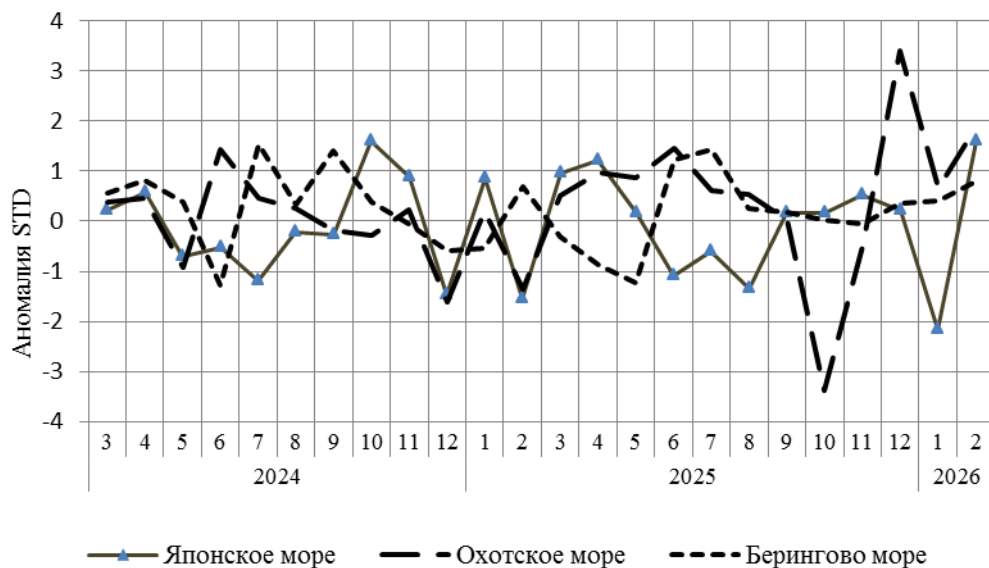


Рис. 1-7 Годовой ход стандартизованных аномалий индекса интегрального меридионального переноса воздуха с учетом знака (Kt) в нижней тропосфере над дальневосточными морями

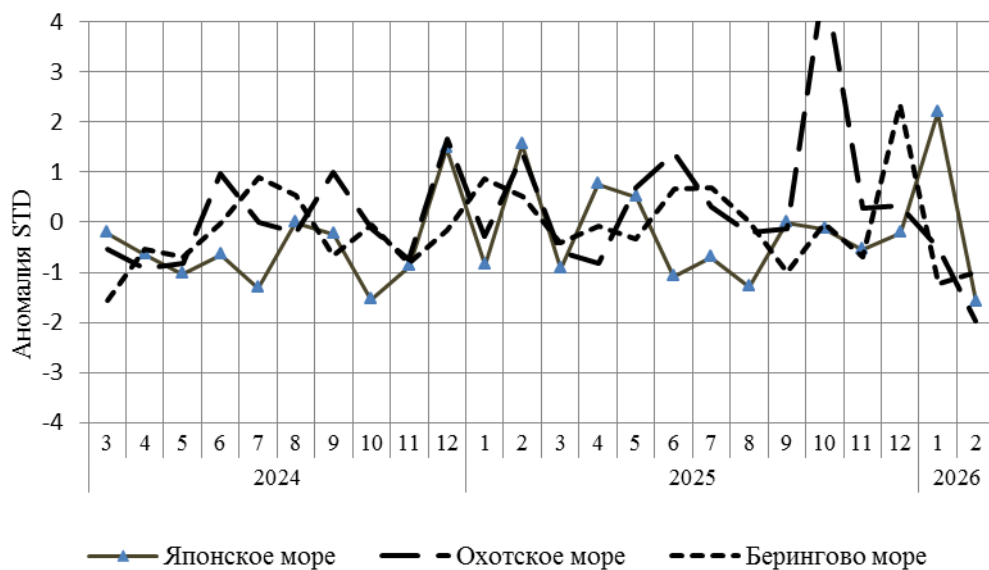


Рис. 1-8 Годовой ход стандартизованных аномалий индекса интегрального меридионального переноса воздуха без учета знака (Kt) в нижней тропосфере над дальневосточными морями